

دراسة خواص طبقات الطلاء المنتجة بالررش بالقوس الكهربائي

د. محمد جاسم كاظم* ، هالة سلمان حسن* و د. اسماعيل خليل جاسم**

تاريخ التسلم: ٢٠٠٤/٥/٣١

تاريخ القبول: ٢٠٠٤/١١/٢٢

الخلاصة

أجريت عملية الرش بطريقة القوس الكهربائي لسلك من سبيكة البرونز القسفيوري (Cu-15% Sn-0.65P) على قاعدة من الصلب متوسط الكربون (0.4%C). تم دراسة تأثير آلية تشكيل طبقات الطلاء على بنيتها المجهرية وبقي خواصها المتمثلة بخشونة وصلادة طبقة الطلاء بالإضافة إلى الاطوار الناتجة.

لقد تم التوصل من خلال التحليل الدقيق لنتائج البنية المجهرية لطبقات الطلاء وفحوصات الخشونة وصلادة لسطح طبقة الطلاء والاطوار الناتجة إلى ان الطلاءات الناتجة بعملية الرش بالقوس الكهربائي للبرونز القسفيوري هي عبارة عن تركيب من الطبقات المتجمدة تجمداً سريعاً والتي تكون مسطحة الاستلام الحقيقية بينها محدودة. مما يؤدي إلى خشونة سطحية عالية نسبياً وانخفاض في قيم الصلادة فيما لم تقلبسر نتائج حيود الأشعة السينية حصول تغيير في الاطوار بعد اجراء عملية الرش.

Abstract

The spraying process has been applied by spraying of Cu-15%Sn-0.65% P wire on a medium carbon(0.4%). The effect of the mechanism of lamella formation on the microstructure features and other properties such as roughness, hardness and phases formation, has been studied.

It has been concluded from the detailed analysis of microstructure of the coated layers that the layers formed are produced by rapid solidification. The real surface contact between the lamella is limited. This is resulted in increasing surface roughness and decreasing hardness. X-ray diffraction data has not shown any change in phases formed after spraying process.

مقدمة

الترباط بين غطاءات الرش الحراري بالدرجة الأساس هو تشابك ميكانيكي بين السدائق المسذرة و سطح المادة الأساس.

يجب ان يخشن السطح كإحدى خطوات التحضير للحصول على افضل تلاصق وحالما يغطي الطلاء سطح المادة الأساس بشكل كامل فإن مادة الطلاء تتلاصق مع بعضها. تشكل السباتك المرشوشة ترابطاً معدنياً مع المواد الأساس المعدنية. تمتاز هذه الطريقة بمعدلات ترسيب عالية مقارنة مع باقي عمليات الرش الحراري تصل إلى 40 kg/hr مما يجعل منها طريقة اقتصادية نسبياً في الاستعمال. كما تتميز طبقات الطلاء الناتجة بقوة تلاصق وتماسك عالية مقارنة مع طرائق الرش الأخرى على الرغم من احتوائها على مسامية عالية [٨، ٩]. تناولت العديد من البحوث والدراسات عمليات الطلاء بالررش الحراري بمختلف أنواعه وخواص طبقات الرش الناتجة وامكانية التحكم في هذه الخواص فقد قام الباحثان Safai و Herman [١٠]

تعد عملية الطلاء الغطائي بالررش الحراري من اهم طرائق حماية أسطح المواد الهندسية عن طريق الحصول على توافقية في خواص السطح الخارجي والكتلة الأساس لغرض تحسين أداءها في مدى واسع من التطبيقات الصناعية [١، ٢، ٣]. تختلف عملية الرش بالقوس الكهربائي عن باقي طرائق الرش الأخرى في كونها تستخدم عادة سلكين معدنيين موصلين كمادة للطلاء ولهذا فهي في الغالب طريقة مصممة للرش الحراري للسباتك [٤، ٥]. يستخدم التيار الكهربائي لتوليد الطاقة الحرارية اللازمة لصهر المواد. حيث يمثل السلكين القطبين اللذين يستهلكان بشكل مستمر بسبب انصهار نهايات الأسلاك الذي يحدث عند مرور القوس الكهربائي بينهما. بينما يحدث غاز التذرية قصاً في القطرات المنصهرة ويحملها باتجاه السطح المحضر للمادة الأساس [٦، ٧]. حيث تصطدم به بسرعة عالية جداً تصل إلى ٢٥٠ m/sec. يكون

المواد المستخدمة

استخدم في هذا البحث الصلب متوسط الكربون (0.4% C) كقاعدة للطلاء وعلى شكل أقراص بقطر 18mm وبسمك 6mm. وكانت مادة الطلاء من سبيكة البرونز الفسفوري (Phosphor bronze) المثبت تحليلها الكيماوي في جدول ١ وهي على شكل سلك بقطر 1.6mm.

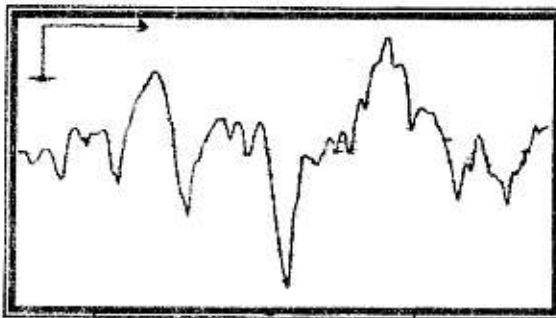
جدول ١ التحليل الكيماوي لمادة الطلاء

Element	Wt%
Sn	١٥,١
P	٠,٦٥
Cu	٨٤,٢٥

قبل إجراء عملية الرش تم تحضير اسطح قواعد الطلاء بشكل مناسب لانجاح عملية الطلاء ولعرض تحسين الربط الميكانيكي بين طبقة الطلاء وسطح المادة الأساس. تم غسل العينات بالماء المقطر والكحول وتجفيفها لإزالة الدهون والأوساخ من العينة ومن ثم أجريت عملية العصف الحبيبي (Grit blasting) لزيادة خشونة السطح العسوي للنماذج. تم استخدام حبيبات من كربيد السليكون في عملية العصف وبمعلات العصف المبينة في جدول ٢ والتي أعطت متوسط قيمة خشونة Ra = 8.5µm. يوضح الرسم البياني في شكل ١ الخشونة السطحية الناتجة. بعد ذلك تم إجراء تنظيف العينات بكحول الايثانول اضافة الى الامواج فوق الصوتية (Ultrasonic).

جدول ٢ معلّات عملية العصف الحبيبي.

حجوم الحبيبات المستخدمة	500µm ← ٧mm
ضغط العصف	٥bar
زاوية العصف	٩٠°
مسافة العصف	٥cm
زمن العصف	15 sec



بدراسة البنية المجهرية وطريقة تشكيل دقائق الطبقة الاولى لطلاءات الالمنيوم المرشوشة بالبلازما باستخدام المجهر الالكتروني الماسح والنافذ وترابط هذه الدقائق بالسطح الأساس. اظهرت الدراسة ان هذه الدقائق تتكون من حبيبات تنمو باتجاه موازي لانسياب الحرارة. وعند استمرار تشكيل طبقات الطلاء فإن الاتجاهية في نمو الحبيبات تختفي بسبب نقصان معدلات التبريد بشكل ملحوظ. كما قام الباحثان بدراسة تأثير معلّات الرش (المسافة والسلك) في المسامية الناتجة في طبقات الطلاء، وتوصلا الى ان مسافة الرش هي العامل الأكثر تأثيراً على كمية المسامية الكلية وان الشكل السائد للمسامية هي المسامات الطولية الممتدة بين الدقائق باتجاه يوازي سطح طبقات الطلاء مما يؤدي الى تقليل ربط التماسك بين الدقائق وانخفاض الخواص الميكانيكية للطلاء.

كما تمت دراسة تأثير معلّات عملية الرش بالقوس الكهربائي في درجة حرارة دقائق الرش المنصهرة وخواص طبقات الرش من قبل Vakhalin وجماعته [١١] وعن طريق رش سبائك الالمنيوم على اساس من سبائك الالمنيوم. وقد وجد انه عند زيادة درجة حرارة الدقائق المنصهرة فإن ذلك يقود الى زيادة كلا من قوة التلاصق والكثافة للطلاء. كما درس الباحثان Kim و Yang [١٢] مشكلة انسياب الحرارة الى السطح الأساس ولكن في عمليات الأكساء بالرش بالقوس الكهربائي بتمريرات متعددة لمسدس الرش على سطح المادة الأساس. تم قياس تغير درجات الحرارة باستعمال مزدوج حراري مثبت الى سطح المادة الأساس وكذلك تم نمذجة العملية باستخدام الطرائق العددية. وقد بينت النتائج امكانية السيطرة على درجة حرارة السطح الأساس تحت درجة حرارة معينة خلال تمريرات الرش لمنع حصول تحولات طورية على سطح المادة الأساس وذلك عن طريق السيطرة على الفترة الانتقالية بين تمريرات الرش والتي تنخفض خلالها درجة حرارة السطح. وكذلك أجرى الباحثان Kaiser و Miller [١٣] دراسة تأثير استخدام غاز حامل مثل الأركون أو النروجين كغاز تثرية بدلاً من الهواء عند إجراء عملية الرش الحراري بالقوس الكهربائي للالمنيوم باستخدام الصلب الواطئ الكربون كقاعدة أساس. ووجدوا انه عند التثرية بالهواء فإن ٤٥% من مادة الطلاء تُفقد في الأكسدة والتبخير لمادة الطلاء في منطقة القوس او في أثناء الطيران علاوة على اندفاع جزء من الدقائق خارج مجرى الرش وان استخدام الغاز الحامل يحسن من كفاءة الطلاء.

حدثت بعد عملية الرش تم استخدام جهاز حيود
الاشعة السينية (X-ray Diffractometers).

النتائج والمناقشة

١- البنية المجهرية للمواد المستخدمة.
يلاحظ من الفحص الدقيق للبنية المجهرية لسبيكة
البرونز الفسفوري (Cu-15%Sn-0.65%P) التي
يتكون منها سلك الطلاء (شكل 2- a) ونتائج حيود
الاشعة السينية ان تركيب السبيكة يتكون من دقائق
الطور ϵ (CuSn) بنسبة قليلة في ارضية المحلول
الجامد α . يضاف الفسفور للسبيكة Cu-Sn بنسبة
قليلة (0.65%) كعامل مختزل مزيل للأوكسجين
ولتقليل قوى الشد السطحي للحصول على التصاقية
عالية مع الصلب. يبين الشكل 2-b البنية المجهرية
للسلك والتي هي عبارة عن بيرلايت وفرايت
وبكرس حجمي متقارب.

٢- البنية المجهرية لطبقات الطلاء

يوضح الشكل ٣ البنية المجهرية لطبقات
الطلاء بالررش بالقوس الكهربائي. حيث يتضمن
التركيب المثالي لطبقة الطلاء المنتجة بعمليات الرش
بالقوس الكهربائي بنية مجهرية طبقية من قطرات
مسطحة ومتجمدة على شكل شرائح موجية مترابطة
فيما بينها ناتجة عن اصطدام مجرى دقائق السلك
المنصهر والتام الانصهار بالدرجة الرئيسة بالسطح
الاساس.

تعتمد البنية المجهرية لطبقات الطلاء على
الطريقة التي تسطحت فيها القطرات وتجمدت بعد
الاصطدام. لذلك فان العوامل الرئيسة التي اثرت
عليها هي درجة الحرارة والسرعة والتوزيع
الحجمي للدقائق والتي تتغير بصورة مستمرة خلال
انتقال الدقائق المنصهرة باتجاه سطح قاعدة الطلاء.
وان التغيير في البنية المجهرية الناتجة هو دالة
لدرجة حرارة وسرعة الدقائق في لحظة الاصطدام
عند مختلف مناطق السطح الصلب. ولأن الخواص
المختلفة تعتمد بصورة مباشرة على البنية المجهرية
لطبقة الطلاء الناتجة فقد تحدد السلوك الميكانيكي
لطبقات الطلاء الناتجة بالعوامل السابقة. اذ انه يعتمد
بشكل كبير على درجة التماس بين طبقات الطلاء
نفسها وبين طبقة الطلاء والسطح الاساس [14].

اوضح الفحص الدقيق للبنية المجهرية
وجود العيوب التقليدية للرش بالاجواء الاعتيادية
والتي تمثل المسامية الكبيرة والصغيرة وطبقة
الايوكسيد المحيطة بالاطوار الناتجة التي هي طور
المحلول الجامد (α) لمادة الطلاء المستخدمة
(البرونز الفسفوري) بالدرجة الاساسية ويكون على

اجريت عملية الطلاء بالررش الحراري
باستخدام منظومة الرش بالقوس الكهربائي نوع
LG-200/H المنتجة من قبل الشركة السويدية
OSU- MAS. واجريت عملية الرش بمعلمات
رش ثابتة. يوضح جدول 3 معلمات عملية الرش
المستخدمة.

جدول 3 معلمات عملية الرش.

4 bar	ضغط هواء التدرية (P_{air})
2 MPa	ضغط هواء التغذية للسلك (P_{wire})
25 Volt	الفولتية (V)
6m/min	السرعة الانتقالية (S)
20 cm	مسافة الرش
4	عدد التمريرات

استخدم المجهر الضوئي لغرض فحص ودراسة
طبقات الطلاء والاطوار المتكونة فيها والبنية الدقيقة
. تمت دراسة المقطع العمودي مرة بعد اجراء
عمليات التحضير وبدون اظهار البنية المجهرية
لفحص الاطوار الناتجة وتقييم الحد الفاصل ومرة
بعد اظهار كلا من طبقة الطلاء والسبيكة الاساس
لدراسة البنية الدقيقة لطبقة الطلاء وتوزيع الاطوار
المتكونة خلالها. تم تقطيع عينات الطلاء باستخدام
جهاز القطع السلكي (Wire cut) لتجنب تآثر طبقة
الطلاء ومن ثم اجراء اسناد على البارد للعينات
المقطوعة. ثم تم تحضيرها بالطرق التقليدية مع
مراعاة تسليط ضغط واطى في اثناء عمليتي التعميم
والصقل لتجنب حدوث تغيير في البنية المجهرية
للطلاء أو انفصال بعض الدقائق المرشوشة.
استخدمت في عمليات التحضير أوراق سنفرة
بدرجات مختلفة تتراوح ما بين ١٢٠ و ١٠٠٠.
ومعجون الماس بدرجة نعومة تصل الى 0.25
 μm . ولغرض اظهار التركيب الدقيق لطبقة الطلاء
تم استخدام محلول إظهار من كلوريد الحد يدريك
الكحولي المكون من ٥ غم FeCl_3 و ٩٥ مللتر
كحول و 2 مللتر HCl . بينما استخدم محلول إظهار
من النيتال (Nital) بنسب حجمية ٢% حامض
النتريك HNO_3 و ٩٨% كحول لإظهار البنية
الدقيقة للمعدن الاساس.

تم اجراء فحص صلادة ركوبل السطحية
(Rockwell Superficial Hardness) نوع
HR15T. ولجل التعرف على الاطوار المتكونة
لمادة الرش المستخدمة والتحويلات الطورية التي

الترطيب بين دقائق الطلاء نفسها وبين طبقات الطلاء والمادة الأساس.

٣- الخشونة السطحية

ترافق طلاءات الرش بالقوس الكهربائي خشونة سطحية عالية نسبياً و سطح معتم. يوضح الشكل ٧ السطح العلوي لطبقة الطلاء بقوة تكبير متخفضة والخشونة السطحية الناتجة والتي تكون بحدود $9 \pm 2 \mu m$ اعتماداً على المتغيرات المستخدمة في عملية الرش.

٤- الصلادة

تكون قيم الصلادة المقاسة لطبقة الطلاء بحدود HR15T 50 وتبين هذه القيم بين منطقة وأخرى لنفس النموذج ويصل مقدار التباين بحدود ± 3 بمقياس HR15T. وهذا ناتج عن الاختلاف في شكل وتوزيع المسامية والأطوار الناتجة داخل طبقات الطلاء كما هو واضح في الشكل ٣. الاختبار بشكل عام يعطينا قيمة أوطاً للصلادة مقارنة مع صلادة السلك والذي تكون قيمة صلادته ٧٨ بمقياس HR15T وذلك بسبب المسامية في طبقات الطلاء.

٥- الأطوار الناتجة

بينت تحليلات حيود الأشعة السينية لطبقة الطلاء $Cu-15\%Sn$ (شكل ٨) والمبينة تفصيلها في الجدول ٤ بأنها تتكون بصورة رئيسية من المحلول الجامد α بالإضافة إلى ظهور كمية قليلة من طور ϵ (CuSn). بينت نتائج الفحص بحيود الأشعة السينية عدم الكشف عن وجود الأكاسيد وذلك بسبب انخفاض نسبته داخل طبقات الطلاء.

الاستنتاجات

- من خلال التحليل الدقيق لمتغيرات عملية الرش المختلفة للبرونز الفسفوري تم التوصل إلى أن الطلاءات الناتجة بعمليات الرش الحراري للبرونز الفسفوري هي عبارة عن تركيب من الطبقات المتجمدة بشكل سريع والتي تكون مساحة التلامس الحقيقي بينها محدودة. كذلك تؤدي عملية الطلاء بالرش بالقوس الكهربائي إلى وجود مسامية في طبقات الطلاء تصل إلى ٢٠% والتي يمكن تقليدها باختيار معلمات الرش المناسبة ولا يمكن إلغاءها بشكل كامل مما يؤدي إلى انخفاض في قيم الصلادة المقاسة وارتفاع الخشونة السطحية لطبقة الطلاء.

شكل شرائح مسطحة تأخذ شكلاً موجياً وذات لون فاتح وكذلك الطور ϵ المتوزع بصورة غير منتظمة. تصل النسبة الحجمية للمسامية في طبقات الطلاء إلى ٢٠% أو أكثر اعتماداً على ظروف ومعلمات عملية الرش [14]. يوضح شكل ٤ المسامية المتكونة في طبقات الطلاء والتي تكون على نوعين، المسامات الخشنة المتسببة عن العيوب في بنية الطلاء والناتجة عن الملمس غير الكامل للفرغات بين الدقائق المترسبة سابقاً أثناء عملية الرش. ينتج هذا النوع من المسامية بسبب وجود كمية من الدقائق المرشوشة تكون غير تامة الانصهار عند الوصول إلى سطح الصلب، والمسامات الناعمة التي تكون على شكل فجوات صغيرة محصورة كمناطق تلامس غير مثالي بين الطبقات خلال عملية تشكيل الطلاء والتي تعزى إلى معلمات عملية الرش نفسها.

يلاحظ كذلك في طبقات الطلاء وجود بعض الدقائق غير المنصهرة من مادة الطلاء والموزعة بصورة غير منتظمة والتي تنتقل من الحافة الخارجية للرش بسبب درجة حرارتها وسرعتها الأقل من درجة حرارة وسرعة دقائق مركز الرش. لذلك لا تتماسك هذه الدقائق مع السطح الأساس عند اصطدامها به بل ترتد عنه لكنها تحبس إليه عن طريق انسياب الدقائق المنصهرة حولها مما يجعلها تشكل مناطق عيوب داخل الغطاء المترسب. يوضح الشكل ٥ لمقطع عمودي في عينة الطلاء التشويه الحاصل للتركيب الطبقي للطلاء نتيجة الدقائق غير المنصهرة.

ترتبط نسبة كل من الأطوار السابقة وتوزيعها داخل طبقات الطلاء بشكل مباشر بتغيير معلمات عملية الرش. يوضح الشكل ٦ مقطعاً عمودياً في عينة الطلاء بعد إجراء عمليات التحضير عليها وطبيعة الحد الفاصل بين طبقة الطلاء والسطح الأساس الناتج عن معلمات رش مناسبة (جدول ٣) [14]. يلاحظ إمكانية الحصول على طلاءات معدنية بالتصاقية عالية باستخدام عمليات الرش بالقوس الكهربائي نسبة إلى باقي طرائق الرش الحراري الأخرى [6]. تتأثر قوة التلاصق والتماسك لطبقات الطلاء بشكل مباشر بنسب الأطوار السابقة. تمتاز طلاءات الفسفور برونز المنتجة بعمليات الرش الحراري بكونها طلاءات ذات معامل تقلص واطيء ومحتوى أوكسجيني واطيء والتصاقية عالية بالسطح الأساس [14]. لذلك يلاحظ بشكل عام من دراسة البنية المجهرية لطبقات الطلاء وتحديد الكسر الحجمي للمسامية انخفاض المسامية وحدوث تسطح عالٍ نسبياً لدقائق الرش. يعود ذلك إلى تأثير وجود عنصر الفسفور في سبيكة الطلاء والذي يعد عاملاً مختزلاً مزيلاً للأوكسجين مما يزيد من عملية

1996. [http: // dol 1. eng. sunysb. edu /
tsl / thermal / article 1. html].

8. . Muirhead, in "Science and
Technology of Surface Coatings",
NATO Advanced study Institute on the
science and Technology of Surface
Coatings, Imperial College of Sciences
Technology and Medicine, London,
1974, Academic press, P.248, Eds. B.N.
Chapman and J.C. Anderson.

9. M. Donovan and H. Reiter,
Surfacing Journal, Vol.13, No.2, 1982,
P.26.

10. S. Safai and H. Herman, Thin
Solid Films, Vol.45, 1977, P.295.

11. V.A. Vakhalin, V.V. Kudinov,
V.E. Belashchenko and E. I. Skidan, Fiz.
Khim. Obrab. Mater., Vol.6, 1979, P.52.
(From Metals Abstracts, Vol.13, Au gust
1980, P. 198).

12. W.B. Kim, Y.S. Yang and S.J. Na,
Surface and Coating Technology,
Vol.37, No.4, 1989, P. 399.

13. J.J. Kaiser and R.A. Miller,
Advanced Materials and Processes,
12/89, P.37.

١٤. هالة سلمان حسن، دراسة الطلاء الغطائي
للسبائك، رسالة ماجستير مقدمة الى قسم التعليسيم
التكنولوجي في الجامعة
التكنولوجية، ٢٠٠٢.

المصادر

1. M.P. Groover, "Fundamentals
of Modern Manufacturing: Materials,
processes and Systems", Prentice Hall,
Inc., 1999.

2. S. Grainger, "Engineering
Coating: Design and Application",
Wood head publishing, 1994.

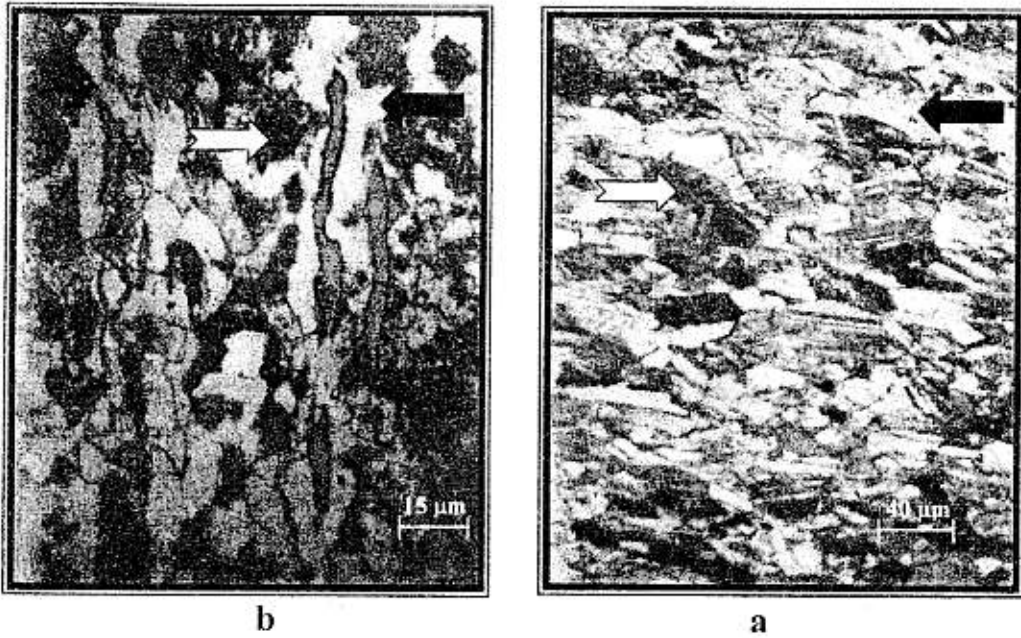
3. M.L. Thorpe, Advanced
Materials and Processes, 10/88, P.69.

4. A. J. Genetti, "Engineering and
Design: Thermal Spraying: New
Construction and Maintenance",
Department of the Army-U.S. Army
Corps of Engineering- Washington, DC
20314-1000, Manual, No. 1110-2-3401,
January 1999.

5. D.R. Marantz, in "Science and
Technology of Surface Coatings",
NATO Advanced study Institute on the
science and Technology of Surface
Coatings, Imperial College of Sciences
Technology and Medicine, London,
1974, Academic press, P.308, Eds. B.N.
Chapman and J.C. Anderson.

6. F. Vanden Berge, "Thermal Spray
Processes" Stork Cellramic, Inc.,
Milwaukee, Wisconsin, Internet Site,
1998. [http: // www. cellramic. strok
group. com/ thermal. htm].

7. H. Herman and S. Sampath,
"Thermal Spray Coatings", Internet Site

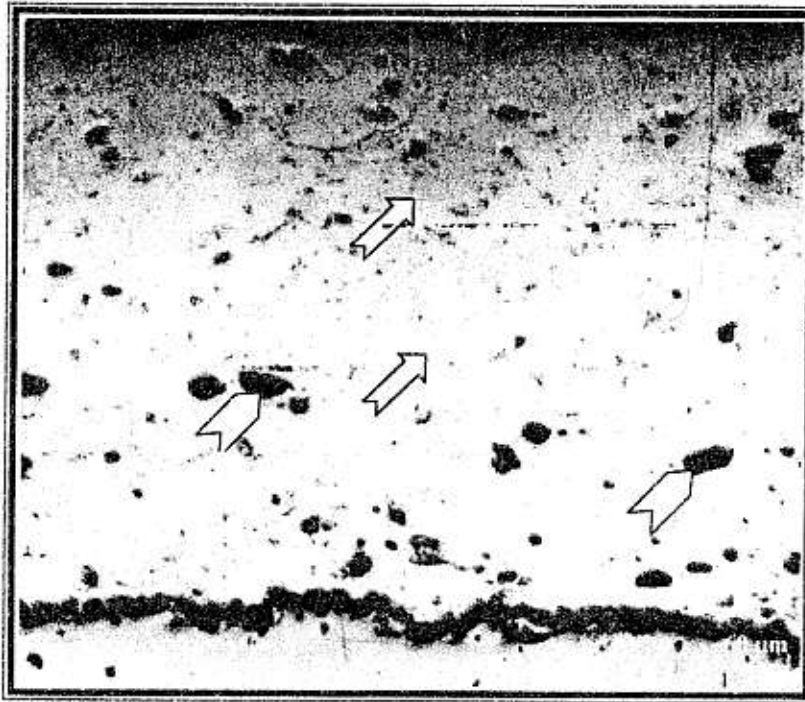


شكل 2 - a - البنية المجهرية لسبيكة سلك الطلاء Cu-15% Sn
 - b - البنية المجهرية للفولاذ متوسط الكربون فرايت بيرلايت.
 ↑ CuS ↓ α

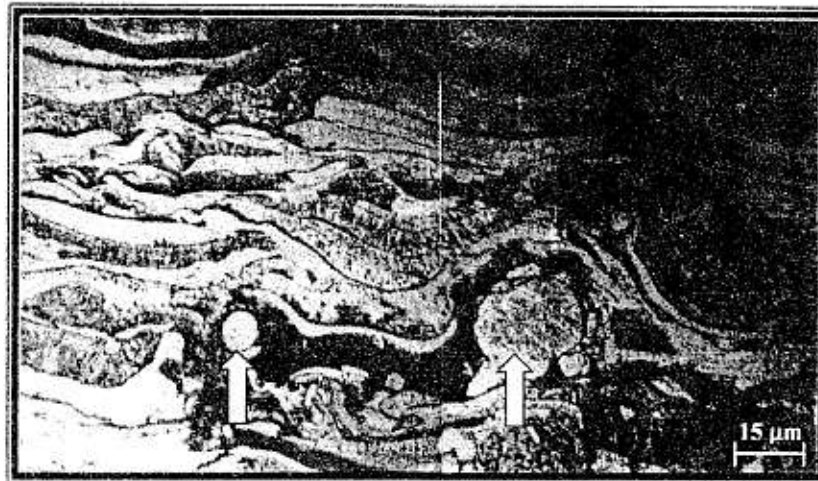


مادة الاسناد
 طبقة الطلاء
 الحد الفاصل
 سطح الصلب

شكل 3 مقطع عمودي في طبقة الطلاء بين البنية المجهرية الأتموزجية لطبقات الطلاء والاطوار الناتجة. طور مادة الطلاء المسامية.



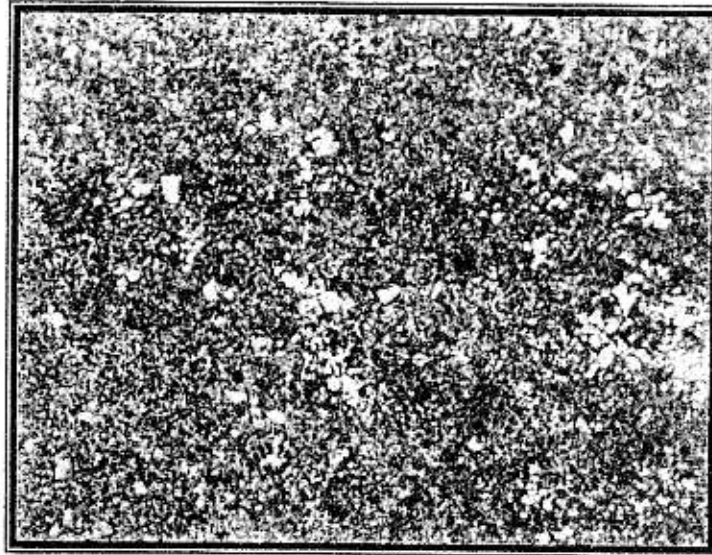
شكل 4 مقطع عمودي في عينة الطلاء بعد اجراء عمليات التحضير عليه يوضح المسامات الخشنة والناعمة في طبقات الطلاء.



شكل 5 مقطع عمودي في عينة الطلاء بعد اجراء عمليات التحضير والاظهار يوضح التشويه الحاصل في التركيب الطبقي للطلاء نتيجة الدقائق غير المنصهرة.



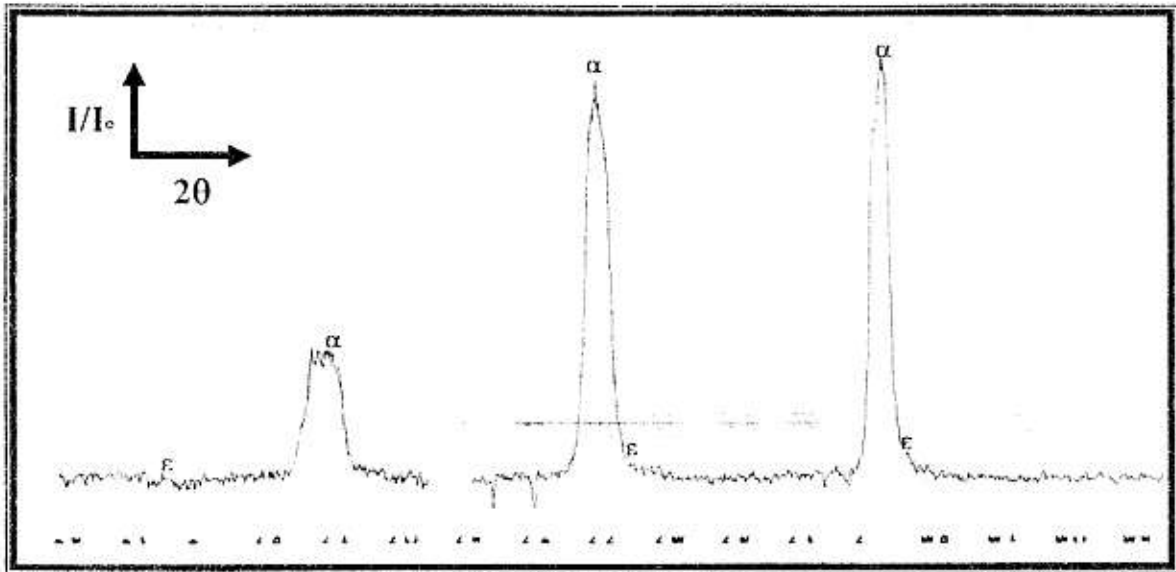
شكل 6 قطع عمودي في عينة الطلاء بعد إجراء عمليات التحضير يوضح الحد الفاصل بين طبقة الطلاء والسطح الأساس الناتج عن اختيار معلمات رش مناسبة.
١. طبقة الطلاء. ٢. منطقة الحد الفاصل. ٣. المادة الأساس.



شكل 7 السطح العلوي لطبقة الطلاء والخشونة السطحية الناتجة.

جدول 4 نتائج التحليل بحيود الأشعة السينية لطبقة الطلاء.

2θ	d. meas., nm	d. stand., nm	Phase	Relative Intensity
42.4	0.2132	0.2131	ϵ	% 9
42.8	0.2113	0.209	α	% 100
49	0.1859	0.1859	ϵ	% 5
50.2	0.1817	0.181	α	% 93
73.9	0.12813	0.128	α	% 23
77.7	0.1229	0.122	ϵ	% 5



شكل 8 منحنى التحليل بحيود الأشعة السينية (XRD) لطبقة الطلاء.